

에미터 면적에 따른 BJT의 SPICE 1/*f* 잡음 파라미터 추출

(Extracting the BJT SPICE 1/*f* Noise Parameters Based on Emitter Area)

홍현문^{*} · 전병석^{**} · 김주식^{**}

(Hyun-Mun Hong · Byeong-Seok Jeon · Ju-Sik Kim)

요약

본 연구에서는 BICMOS 공정으로 제조된 바이폴라 트랜지스터의 SPICE 잡음 파라미터 추출방법을 제시하였다. 기하학적 분석으로부터 K_f 값이 에미터 면적에 반비례하고 있음을 보였다. 그리고 $K=0.8 \times 10^{-20}$, $A_f=2$, $\alpha \approx 1$ 값이 추출되었다.

Abstract

In this study, present a method for extracting the BJT SPICE 1/*f* noise model parameters fabricated by BICMOS process. From the geometric analysis of the K_f , we show that K_f is in inverse proportion to emitter area. And it is extracting that $K=0.8 \times 10^{-20}$, $A_f=2$, $\alpha \approx 1$ values.

1. 서 론

바이폴라 접합 트랜지스터(BJT)에서는 열잡음, 산탄잡음, 파열잡음 및 1/*f* 잡음 등 거의 모든 잡음원들이 발생되고 있다[1]. 열잡음은 BJT의 기생저항 성분인 베이스 분산저항(base spreading resistance), 에미터 및 콜렉터 기생저항들에서 발생된다. 각 저항 성분에 인가되는 전류가 크지 않아서 개별 기생저항 등에서 발생되는 열잡음의 크기는 나이키스트(Nyquist) 정리 식으로 추정될 수 있다. 그리고 에미터와 콜렉터의 각 접합 부분에서 발생되는 산탄 잡음은 슛트키(Schottky) 잡음식으로 계산될 수 있다. 접합 균처의 결함(metallic defect) 및 격자의 어긋남(dislocation)과 같은 결함에 의해 발생되는 것으로 알려져 있는 파열

잡음은 안정된 공정에 의해서 결함이 제거될 수 있으므로[2] 이상적인 공정을 가정하여 그 잡음 성분이 없다고 추정할 수 있다. 그러나 1/*f* 잡음은 소자의 제조 공정 및 기하학적 구조에 따라 측정값이 다르기 때문에 각 소자에서 발생하는 1/*f* 잡음의 크기를 예측할 수 있는 모델링이 필요하다. 현재 바이폴라 접합 트랜지스터에서의 1/*f* 잡음 모델식은 다음과 같이 표시되고 있다.

$$S_{I_b}^{1/f}(f) = K_f \frac{I_b^{A_f}}{f^\alpha} \quad (1)$$

여기서 α 는 보통 1이며, A_f 는 1과 2사이의 값을 갖는다. 일반적으로 안정된 공정으로 제조된 실리콘 BJT에서는 베이스로부터 에미터로 주입된 전송자들의 이동도 섭동에 의해서 1/*f* 잡음이 발생되고, 이 경우에는 $A_f \approx 1$ 이 되는 것으로 알려져 있다[3]. 그리고 근래에 1/*f* 잡음과 백색잡음이 교차하는 주파수

*정회원 · 동해대학교 전기공학과 전임강사

**정회원 · 충북대학교 전기공학과

접수일자 · 1999년 12월 27일

에미터 면적에 따른 BJT의 SPICE 1/f 잡음 파라미터 추출

f_L 을 이용하여, K_f 의 특성을 분석하는 방법이 제시된 바 있다[4] 이 경우에 절점주파수(corner frequency) f_L 이 소자의 구조 및 바이어스에 의존하게 되므로, f_L 이 K_f 를 대체하는 모델변수가 된다 따라서 f_L 의 특성이 예측 가능하지 않으면, f_L 을 이용하는 분석 방법은 큰 장점을 갖지 못한다.

고속 ECL 디지털 회로 및 고집적 CMOS 회로가 혼합된 아날로그 회로를 구현하기 위해서 BICMOS 공정을 선택하고 있으며[5], 이러한 경우 특히 잡음출력이 중요한 변수가 될 수 있다. 본 연구에서는 BICMOS 공정으로 제조된 바이폴라 트랜지스터의 SPICE 매개변수 A_f , K_f , α 를 추출하며, 특히 K_f 의 기하학적 구조에 따른 특성을 조사하여 그 값을 예측 가능한 값으로 모델링하고자 한다.

2. 저주파 잡음 측정 및 파라미터 추출

본 연구에서 사용된 잡음측정은 HP3562A 신호분석기를 사용하였다. 저주파 잡음 증폭기는 초단을 JFET을 이용하여 설계되었고, 증폭기의 저주파 잡음성분은 피시험 회로에 거의 영향을 주지 않았다. 그림 1의 결과는 에미터 면적에 관계없이 소자의 $S_{I_e}^{1/f}(f)$ 값이 베이스 전류의 차승에 비례하여 증가하고 있음을 보여주고 있다. 실선은 회귀곡선을 이용하여 그 기울기를 구한 것이다. 그림 1의 결과로부터 SPICE 파라미터 A_f 값이 2를 갖고 있음을 유추할 수 있다.

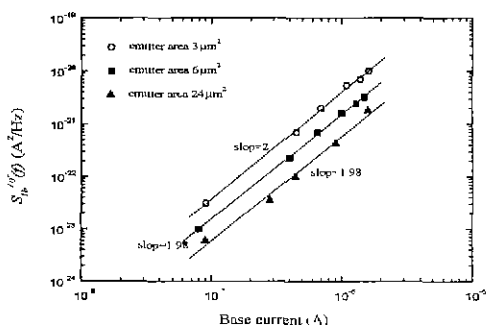


그림 1. 베이스 전류에 따른 전류 잡음스펙트럼 밀도 ($f=10\text{Hz}$)

Fig. 1. Noise spectrum density versus base current ($f=10\text{Hz}$)

그림 1로부터 A_f 값이 추출되면, 실험조건 및 식 (1)로부터 베이스 전류와 측정한 주파수를 대입하여 K_f 값을 찾아 낼 수 있다. 그러나 에미터 면적에 따라 K_f 값이 변하기 때문에 면적에 따른 K_f 값의 특성을 알아 보기 위하여 그림 2, 3에서와 같이 에미터 면적과 베이스 전류, 베이스 접촉 갯수에 대하여 실험을 수행하였다. 그림 2의 결과는 서로 다른 베이스 전류에 대하여 $S_{I_e}^{1/f}(f)$ 값이 에미터 면적에 반비례하고 있음을 보여주고 있다.

그림 3의 결과는 에미터 면적이 같지만 베이스 접촉 갯수가 다른 경우에 대하여 실험한 결과이다. 실험 결과 베이스 접촉 갯수에 따라 $S_{I_e}^{1/f}(f)$ 값은 크게 영향을 받지 않는 것으로 사료된다.

공통 에미터 접음동가회로의 해석에 의해 출력측에서 관측되는 전압잡음스펙트럼은 다음과 같이 주어진다[6].

$$S_{I_e \text{ total}}(f) = \frac{S_{I_e}(r_b + R_B + r_e + R_E)^2 \beta^2 R_c^2}{Z^2} + \frac{S_{I_e}(r_\pi + r_b + R_B + r_e + R_E)^2 R_c^2}{Z^2} + \frac{\beta^2 R_c^2 (I_B^2 S_{r_e} + I_E^2 S_{r_\pi})}{Z^2} + 4k_B T \left[\frac{\beta^2 R_c^2 (r_b + R_B + r_e + R_E)}{Z^2} + R_c \right] \quad (2)$$

여기서 R_B , R_E , R_c 는 외부 베이스, 에미터, 컬렉터 저항이며, r_e , r_b 는 트랜지스터 내부의 빌크저항이고, β 는 전류증폭률, r_π 는 트랜지스터 에미터, 베이스 간 입력저항이다. $Z = R_B + r_b + r_\pi + (\beta + 1) \cdot (R_E + r_e)$ 이며, I_B , I_E 는 각각 베이스, 에미터 전류이며, k_B 는 볼츠만 상수, T 는 절대온도, S_{I_e} 는 에미터 베이스 간 잡음원 S_{I_e} 는 컬렉터 에미터 간 잡음소스이다. 그리고 위의 그림 1, 2, 3으로부터 에미터 베이스 간 잡음소스는 다음과 같이 쓸 수 있다.

$$S_{I_e}^{1/f}(f) = K_f \frac{I_B^2}{f} \quad (3)$$

$$K_f = \frac{K}{\text{Emitter Area}}$$

여기서 $K = 0.8 \times 10^{-20}$ 이다.

그림 4는 실험값과 추출된 파라미터와 식 (2)를 이용하여 수치계산된 값과 비교하여 본 것으로, 기존의 절점 주파수 f_L 을 대입하지 않고도 에미터 면적으로

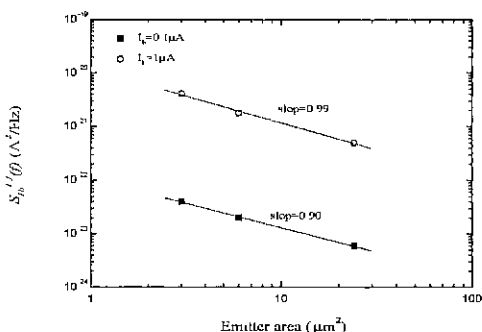


그림 2. 에미터 면적에 따른 전류잡음 스펙트럼 밀도 ($f=10\text{Hz}$)

Fig. 2. Noise spectrum density versus emitter area ($f=10\text{Hz}$)

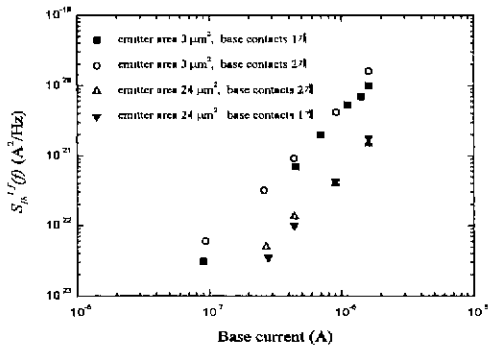


그림 3. 베이스 전류에 따른 전류잡음 스펙트럼 밀도 ($f=10\text{Hz}$)

Fig. 3. Noise spectrum density versus base current ($f=10\text{Hz}$)

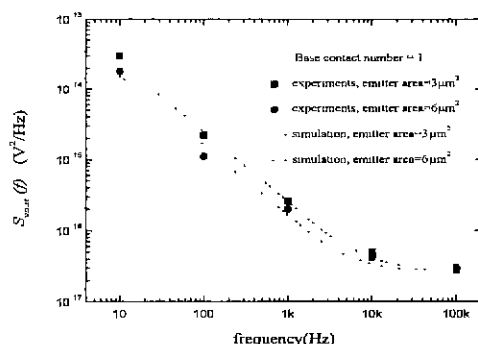


그림 4. 에미터 면적에 따른 잡음전력밀도
(심볼: 측정값, 라인: 시뮬레이션, $I_c=150\mu\text{A}$)

Fig. 4. Noise spectral density of emitter area 3um² operating at $I_c=150\mu\text{A}$ (symbol : measurements, line:simulation, $I_c=150\mu\text{A}$)

모델링 된 수식으로 충분히 설명 할 수 있음을 확인 할 수 있다.

3. 결 과

본 논문에서는 BiCMOS 공정으로 제조된 BJT의 SPICE 1/f 잡음파라미터를 추출하였다. 특히 에미터 면적이 고려된 K_f 를 수식화 하였고 이러한 수식적 결과를 바탕으로 베이스 전류의 변화와 에미터 면적의 변화에 따라 시뮬레이션 한 결과, 실험값을 매우 정확하게 설명하고 있음을 확인할 수 있었다. 본 논문에서 제시된 SPICE 파라미터 값 및 에미터 면적으로부터 잡음의 크기는 예측이 가능하기 때문에 저잡음 아날로그 회로설계에 기여할 수 있을 것으로 기대된다.

참 고 문 헌

- [1] A. van der Ziel, *Noise in Solid State Devices and Circuits*, John Wiley & Sons, New York, NY, 1986.
- [2] C. D. Motchenbacher and J. A. Connelly, *Low Noise Electronic System Design*, John Wiley & Sons, New York, N. Y., 1993.
- [3] A. van der Ziel, "Unified Presentation of 1/f Noise in Electronic Device Fundamental 1/f Noise Sources," Proc. IEEE, 76, pp. 233-258, 1988.
- [4] Julio C. Costa, Dave Ngo, Robert Jackson, Natalino Camilleri, and James Jaffee, "Extracting 1/f Noise Coefficients for BJT's," IEEE Trans. Electron Devices, ED-41, No. 11, pp. 1992-1999, 1994.
- [5] Kenneth R. Laker, Willy M. C. Sansen, *Design of Analog Integrated Circuits and Systems*, McGRAW-Hill, 1994.
- [6] T. G. M. Kleinpenning, "Location of Low-Frequency Noise Sources in Submicron Bipolar Transistors," IEEE Trans. Elec. Dev., ED-39, pp. 1501-1506, 1993.

◆ 저자소개 ◆

홍현문(洪鉉文)

1992년 충북대학교 전기공학과 졸업, 1994년 동대학원 전기공학과 졸업(석사), 1996년 동대학원 전기공학과 박사과정 수료, 1998년~현재 동해대학교 전기공학과 전임강사

전병석(全炳錫)

1995년 충북대학교 전기공학과 졸업, 1998년 동대학원 전기공학과 졸업(석사), 2000년 동대학원 전기공학과 박사과정 수료

김주식(金周植)

조명·전기설비학회논문지 1999년 11월호 참조